

جامعة قاصدي مرباح ورقلة

كلية الرياضيات و علوم المادة

قسم الفيزياء



مذكرة

ماستر أكاديمي

مجال: علوم المادة

فرع: فيزياء

تخصص: فيزياء المواد

من إعداد: نتاري نسيمة * مسعودي حنان

عنوان:

دراسة الخصائص الفيزيائية والكيميائية لعينات رمل منطقة الطيبات

نوقشت يوم: 25/05/2017

أمام لجنة المناقشة المكونة من:

رئيسا	جامعة ورقلة	أستاذ محاضر(أ)	بلعكروم كريمة
مناقشها	جامعة ورقلة	أستاذ محاضر(أ)	بن طوبيلة عمر
مقررا	جامعة ورقلة	أستاذ محاضر(أ)	غرياني رشيد

الموسم الجامعي: 2016/2017

سلسلة وسائل إعلام الجامعة الإسلامية بغزة

الحمد لله رب العالمين، الحمد لله الذي صدنا و ما كنا له بمنتهى لولا أنت أنت صدنا الله، الحمد لله والشكر لله
والصلوة والصلوة على رسول الله.

يطيب لنا أن نضع اللمسات الأخيرة لمنجزنا هذة ولأنه تقدّم يبالغ التكثير والتقدير للإسناد الفاصلة

وغيري مني رئيساً اقتراحه موضوع البحث، وما نزله من جهد ومناعة مدة الإشراف.

كما تقدّم بالشكر للإسناد بمعکوف اگریعه علی فیروز فارس بختة المناقشة، والإسناد به طولية عمر علی فیروز
مناقشة هذة المجزأة.

ونتوجه بالشكر والتقدير إلى كل أساندنا الكرام بقسم الفيزياء بجامعة فاصدي مرباح ورفقة الذين درسونا
في مرحلة التعليم الجامعي.

كما تفضل بالشكر للإسناد كثیر علی مسؤول تحرير المدرسة المدنية، ولار طالبة الدكتوراه زرو اويد خضرفة
علی ما نزلوه من جهد كافاه له الأثر البالغ في تزيله الصعوبات وتقدير التمهيد للإنجاز هذلا البحث.

كما شكر جميع المسؤولين والعامليين في:

تحقيق الارتفاع والبلوزما وفيزياء الطبع (S.R.P.P.L) جامعة ورقانة

تحقيق الارتفاع العمومية في الجنوب (S.T.P.L) ورقانة

تحقيق المدرسة المدنية جامعة ورقانة

وأرجوكم جميع الزملاء والزميلات في المدرسة وخاصة طيبة فيزياء المولود والكل من ساعدنا في إنجاز هذلا
العمل.

مسعودي حنان

ناري نسيمة

الفهرس

1	مقدمة
---------	-------------

الفصل الأول: عموميات حول رمل الكثبان

3	1.I تعريف رمل الكثبان :
4	2.I الكثبان الرملية:
5	1.2.I كيفية تكون الكثبان الرملية :
6	2.2.I أنواع الكثبان الرملية:
8	2.3.I مكونات الكثبان الرملية:
8	1.2.3.I الكوارتز:
10	2.2.3.I الحجر الكلسي(الكالسيت) :
11	3.2.3.I الجبس :
12	I.3. توزع الكثبان الرملية في العالم وفي الجزائر:

الفصل الثاني: التقنيات المستعملة في التحليل

14	II.1. نبذة عن منطقة الدراسة:
14	II.2. التقنيات المستعملة في الدراسة:
14	II.2.1. التحليل الكيميائي :
15	II.2.1.1. تجربة المكافئ الرملي:
16	II.2.1.2. تجربة التحليل الكيميائي :
20	II.2.2. التحليل الفيزيائي:
20	II.2.2.1. تجربة الكتلة الحجمية للرمل:
23	II.2.2.2. تجربة التدرج الحبيبي:
23	II.2.3. الأدوات المستعملة:
25	II.4. تجربة إجهاد القص :

28	5.2.II
28	5.2.II
29	2.5.2.II
30	3.4.2.II
31	4.5.2.II
33	5.4.2.II

الفصل الثالث: مناقشة وتحليل النتائج

33	1.III
33	1.1.III
34	1.2.III
36	2.1.III
36	2.2.III
37	2.2.III
41	3.III
43	4.III
43	4.1.III
43	4.2.III
45	4.3.III
47	الخلاصة العامة.....
49	المراجع.....

قائمة الأشكال

الفصل الأول

الشكل I - 1: تصنيف حبيبات الرمل وفقاً لأبعادها.....	4
الشكل I - 2: مراحل تكوين الكثبان الرملية.....	6
الشكل I - 3: الكثبان المفلالية	6
الشكل I - 4: الكثبان المستعرضة	7
الشكل I - 5: الكثبان الطولية	7
الشكل I - 6: الكثبان النجمية.....	8
الشكل I - 7: البنية البلورية للكوارتز وصورة له	9
الشكل I - 8: البنية البلورية للكلس وصورة له.....	11
الشكل I - 9: البنية البلورية للجبس وصورة له.....	12
الشكل I - 10: توزع الكثبان الرملية الصحراوية في العالم.....	13
الشكل I - 11: توزع الكثبان الرملية الصحراوية في الجزائر	13

الفصل الثاني

الشكل II - 1: صورة توضح الكثبان الرملية للمنطقة.....	14
الشكل II - 2: صورة توضح تجربة المكافئ الرملي.	15
الشكل II - 3: صورة توضح تجربة الكشف عن المواد غير المذابة.....	16
الشكل II - 4: صورة توضح تجربة الكشف عن الجبس.	17
الشكل II - 5: صورة توضح عملية الكشف عن كربونات الكالسيوم.....	18
الشكل II - 6: صورة توضح عملية الكشف عن ملح الطعام.	19
الشكل II - 7: صورة توضح تجربة الكتلة الحجمية الظاهرية.....	21
الشكل II - 8: صورة توضح تجربة الكتلة الحجمية المطلقة	22
الشكل II - 9: صورة توضح المناخل المستعملة في تجربة التدرج الحبيبي.	23
الشكل II - 10: ميزان حساس	24
الشكل II - 11: ميزان الرمل	24

الشكل II-12: جهاز الرج.....	24
الشكل II-13: جهاز الرج المغناطيسي	25
الشكل II-14: جهاز الرج بالاهتزازات.	25
الشكل II-15: الجهاز المستعمل ورسم تخطيطي له ونموذج إحدى العينات في تجربة إجهاد القص.....	28
الشكل II-16 : انعراج الأشعة السينية لفحص البنية البلورية للمادة.....	29
الشكل II-17: مخطط يوضح المستويات الشبكية.	29
الشكل II-18: مخطط يوضح قانون براغ وعملية الحبود هندسيا	31
الشكل II-19: صورة لجهاز انعراج الأشعة السينية.	32
الشكل II-20: صورة لجهاز انعراج الأشعة السينية من الداخل.....	32

الفصل الثالث

الشكل III-1: التدرج الحبيبي لرمل كثبان منطقة الطبيات.	38
الشكل III-2: الإجهاد المطبق على عينة من رمل منطقة الطبيات.....	41
الشكل III-3: منحنى تغير إجهاد القص بدلالة الإجهاد الناظمي.	42
الشكل III-4: طيف انعراج الأشعة السينية لرمل كثبان منطقة الطبيات	43

قائمة الجداول

الفصل الأول

Erreur ! Signet non défini.....	الجدول I - 1: التقاسيم الخاصة بمحاميع الحبيبات الأولية
9	الجدول I - 2: الخواص الفيزيو كيميائية للكوارتز.....
10	الجدول I - 3: الخواص الفيزيو كيميائية للكلس.....
12	الجدول I - 4: الخواص الفيزيو كيميائية للجبس.....

الفصل الثالث

33	الجدول III - 1 : نتائج المكافئ الرملي لرمل كثبان الطبيات.....
33	الجدول III - 2 : نتائج المكافئ الرملي للعينات الثلاثة.....
34	الجدول III - 3: التحليل الكيميائي للعينات الثلاثة.....
36	الجدول III - 4: نتائج تجربة الكتلة الحجمية الظاهرية
37	الجدول III - 5: نتائج تجربة التدرج الحبيبي لرمل كثبان الطبيات.....
40	الجدول III - 6: نتائج معاملات التدرج للعينتين.....
	الجدول III - 7: الملحقات الخاصة بانعراج الأشعة السينية على رمل منطقة
	الطبيات.....
43.....	

فهرس الرموز

الوحدة	المعنى	الرمز
النسبة المئوية	المكافى الرملى	ES
النسبة المئوية	المواد غير المذابة	INS
$\frac{g}{Cm^3}$	الكتلة الحجمية الظاهرية	ρ_a
$\frac{g}{Cm^3}$	الكتلة الحجمية المطلاقة	ρ_s
P_a	إجهاد القص	τ
النسبة المئوية	معامل النعومة	MF
النسبة المئوية	معامل الانظام	C_u
النسبة المئوية	معامل التدرج	C_c
bar	قوة التماسك	C
الدرجة المئوية	زاوية الاحتكاك	ϕ
nm	قطر الحببية النانوية	L
الدرجة المئوية	عرض الخط عند متوسط الارتفاع	β
درجة المئوية	زاوية سقوط الأشعة السينية	θ
(u. a)	الشدة	I
N	قوة القص	F

مقدمة عامة

الرمل هو أحد المكونات التي توجد في الطبيعة بشكل حر، ويكون من حبيبات الصخور وجسيمات المعادن، ويتم تعريف الرمال وفق حجمها باعتبارها أرق من الحصى.

يتواجد الرمل في الطبيعة على شكل كثبان رملية، وهي عبارة عن تجمعات لرواسب ذات أحجام مختلفة وقد تكون ذات مساحات ضخمة وتنتقل بواسطة الرياح، وغالباً ما يكون مصدرها من الصخور الرسوبيّة المتفتتة، أو من الصخور نارية ومتحولة نتيجة لعوامل التعرية بالإضافة إلى عوامل الأمطار والرياح.

للرمل عدة استخدامات فهو غني بمادة الكوارتز الداخلة في الصناعات الزجاجية، وهو مكون أساسي في مواد البناء كما يستخدم أيضاً في الفلاحة.

ولأن منطقتنا الجغرافية تميزت بمادة الرمل ارتأينا أن نتناول في موضوع مذكرة التخرج لنيل شهادة الماستر تحت عنوان "دراسة الخصائص الفيزيائية والكيميائية لعينات رمل منطقة الطيبات"

يتناول هذا البحث دراسة تحليلية للرمل لتحديد العناصر والمكونات الأساسية لرمل كثبان منطقة الطيبات باستخدام الطرق التالية: انعراج الأشعة السينية (XRD) والتحليل الكيميائي للرمل، والدافع لاختيار هذا الموضوع هو:

- نقص الدراسات عن الرمل
- عدم وجود دراسة سابقة لرمل المنطقة

وعليه فإننا نسعى من خلال هذه الدراسة لتحليل رمل منطقة الطيبات لتحديد رمل منطقة الطيبات لتحديد مكوناته وأهم خصائصه الفيزيائية والكيميائية.

فما هي المركبات المكونة للرمل؟ وما هي خصائصه الفيزيائية والكيميائية؟

تنقسم هذه المذكرة إلى ثلاثة فصول:

✓ الفصل الأول: "عموميات حول رمل الكثبان" حيث تعرفنا على الرمل والكثبان الرملية وكيفية تشكلها وتوزعها وأنواعها ومكوناتها الأساسية وأهم خصائصها.

✓ الفصل الثاني: "التقنيات المستعملة في التحليل" فقد عرّفنا فيه منطقة الدراسة(الطبيات)، وتطورنا فيه إلى مختلف التقنيات المستعملة في الدراسة: التحليل الكيميائي، المكافئ الرملي، التدرج الحبيبي، الكتلة الحجمية، إجهاد القص، انبعاج الأشعة السينية(DRX)، مع التركيز على أهدافها ومبدأ عملها والأجهزة المستعملة في ذلك.

✓ الفصل الثالث: "مناقشة وتحليل النتائج" يمثل هذا الفصل تحليل النتائج المتحصل عليها من خلال التجارب المستعملة ومقارنتها بنتائج دراسات أخرى.

وفي الأخير خلمنا هذا البحث بخلاصة عامة عرضت فيها النتائج التي تحصلنا عليها مع تقديم آفاق مستقبلية يمكن على أساسها موصلة البحث في هذا الموضوع.

الفصل الأول:

عموميات حول رمل

الكتبان

مقدمة

يعد الرمل من أكثر المواد الطبيعية تواجداً على اليابسة، فهو من أقدم مواد التشييد التي عرفها الإنسان، ويوجد الرمل في الطبيعة على شكل كثبان رملية وهي عبارة عن تجمع حبيبات الرمل السائب على سطح الأرض في شكل كومة ذات قمة.

إن أهمية الرمل تتزايد بزيادة استخداماته التي نذكر منها :

- الرمل هو المادة الأساسية لصناعة الزجاج.
- الزراعة.
- تنقية المياه
- استخلاص الكوارتز
- استخلاص السيليسيوم النقي
- مكون أساسي لمواد البناء

1.I تعريف رمل الكثبان :

الرمل هو مادة حبيبية موجودة في الطبيعة، حيث يتكون من حبيبات معدنية ناعمة تترواح أبعادها عموماً بين 0.062 و 2mm من وجهة النظر الجيولوجية، ويطلق على الحبيبات الفردية حبة رمل.

تشكل رمال الكثبان بشكل رئيسي من حبيبات الكوارتز SiO_2 بنسبة 60-65% وتحتوي على كميات قليلة من الشوائب والمعادن الثقيلة ونسبة معتبرة من أكسيد الحديد الثلاثي Fe_2O_3 وكربونات الكالسيوم $CaCO_3$ ونسبة أكبر من أكسيد الألミニوم Al_2O_3 وهي مكونة كيميائياً الكيميائية من نفس المكونات الكيميائية للصخور التي منها نشأت [1].

تتراوح قطرات حبيبات الرمل من 0.0625 إلى 2mm، أما حبيبات التي تتوافق قطراتها بين 2 و 64mm فتدعى حصى أما التي تكون حبيباتها أقل من الرمل فتدعى طمي وتتراوح قطراتها بين 0.004mm إلى 0.0625 .

الفصل الأول:

عموميات حول رمل الكثبان

تنقسم الرمال عادة إلى خمس فئات على أساس الأبعاد كالتالي :

الجدول I - 1: التقسيم الخاص بـ مجاميع الحبيبات الأولية [2].

مجاميع الحبيبات الأولية	التقسيم الأمريكي (تقسيم وزارة الزراعة الأمريكية)	التقسيم الدولي (تقسيم الجمعية الدولية لعلوم التربة)		
	القسم	قطر الحبيبات mm	القسم	قطر الحبيبات mm
الرمل	رمل خشن جدا	2-1	رمل خشن	2 – 0.2
	رمل خشن	1-0.5		
	رمل متوسط	0.5-0.25	رمل ناعم	0.2 – 0.02
	رمل ناعم	0.25-0.1		
	رمل ناعم جدا	0.1-0.05		
الطمي	طمي خشن	0.05-0.02	طمي	0.02 – 0.002
	طمي ناعم	0.02-0.002		
الطين	طين	أقل من 0.002	طين	أقل من 0.002

ويعتمد توزيع هذه الأبعاد على مقياس (Krumbein). [3]



الشكل I - 1: تصنيف حبيبات الرمل وفقا لأبعادها.

2.I. الكثبان الرملية:

يطلق لفظ كثيب على التلال الرملية التي يختلف ارتفاعها من بضعة أقدام إلى عشرات الأمتار، وقد يكون العامل

المساعد في بداية تكوين الكثيب تعرض الرياح لخاجز أو مانع في طريق اتجاهها، مثل تل أو شجرة أو بناء ما، تعمل على عرقلة

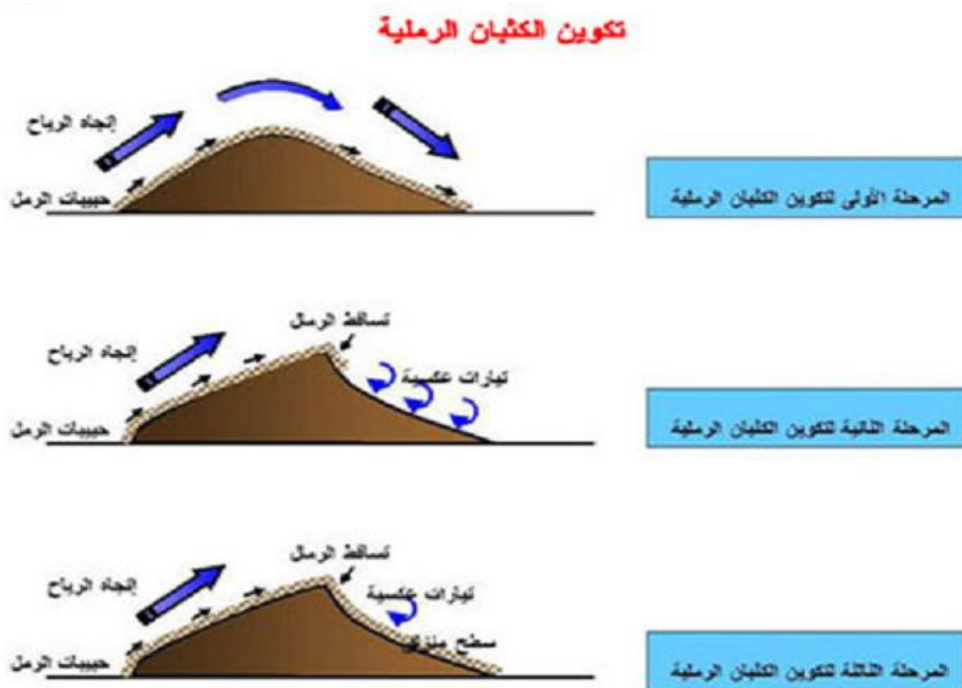
عموميات حول رمل الكثبان

حركة الرياح وإرغامها على إرساب حمولتها من الرمال، أما إذا تميزت الرياح بشدة سرعتها من ناحية وقدرتها على نقل كميات هائلة من الرمال ثم تتوقف فجأة، فقد تكون كثبان رملية كبيرة الحجم يراوح ارتفاعها من 50 إلى 150 متراً، كما هو الحال في بعض أجزاء من الصحراء الكبرى في إفريقيا وصحراء كولورادو في أمريكا الشمالية [4]

I.1.2. I. كيفية تكون الكثبان الرملية :

تتكون الرمال نتيجة لعوامل التعرية وهي تفاعل الصخور الصخراوية مع درجات الحرارة العالية وهبوب الرياح المتواصلة مما يؤدي إلى تفكك الصخور وتنتهي إلى حبيبات رملية مختلفة الأحجام والأشكال، وينتج الكثيب بالمراحل التالية [4] :

- عندما تضعف قوة الرياح تتساقط حمولتها من الرمال مجتمعة فوق بعضها وتتراكم عادة على الجانب المواجه لاتجاه الرياح، وقد يتبقى بعضها في أعلى الكثيب ويتدحرج ببعضها الآخر على الجانب المظاهر للرياح، وتشكل عملية تدحرج ذرات الرمال وتزحلقها بفعل الجاذبية الأرضية، وبالتالي تعمل الرياح على تسوية الجانب المواجه لهبوبها، في حين يراوح انحدار الجانب المظاهر بين 20-30 درجة، وعلى ذلك أول مراحل تكوين الكثيب تجمع الرواسب على الجانب المواجه للرياح أكثر منه فوق الجانب المظاهر لها، وبالتالي يزداد ارتفاع الكثيب تدريجياً كما يوضح الشكل (I - 2) .
- وفي المرحلة الثانية، تنحدر الرمال من أعلى الكثيب بفعل الجاذبية الأرضية أسفل الجانب المظاهر لاتجاه الرياح، وتكون الانحداراً شديداً، إذا ما قورن بدرجة انحدار السطح المواجه لاتجاه الرياح، كما يوضح الشكل - (2 - I).
- وفي المرحلة الثالثة، يظهر الاختلاف واضحًا بين كل من الانحدار البسيط المواجه للرياح والانحدار الشديد المظاهر لها، إذ تتحمّل الرمال على الجانب الأول وفوق أعلى، وتنحدر تدريجياً بفعل الجاذبية على الجانب الآخر، الذي يتميز بتأثيره بفعل الدوامات الهوائية، ثم إن الرياح تساعد على تكوين فجوة عميقه في ظهر الانحدار، وبذلك يندو الأخير على شكل مقعر، ويكتسب لنفسه ذراعين طويلين يمتدان مع اتجاه الرياح، كما يوضح الشكل (I - 2).



الشكل I-2: مراحل تكوين الكثبان الرملية [5].

2.2.1. أنواع الكثبان الرملية:

تحتليف أشكال الكثبان الرملية من حيث تباين أحجامها وأبعادها ومظهر سطحها ونمطها العام وتباين أحجامها، ويوجد هناك

أربعة أنواع من الكثبان الرملية، وهي [6]:

1. الكثبان الهلالية: وهو عبارة عن كثيب على شكل قوس يتميز بوجود طرفيين يمتدان إلى الجهة التي تندفع نحوها الرياح،

(3 - I)



الشكل I-3: الكثبان الهلالية

2. الكثبان المستعرضة: وتبعد على شكل موجات رملية متتالية، بعضها أمام بعضها الآخر، وهذه الموجات الرملية

ت تكون من جانبين في اتجاهين متضادين وسيطر بالكثبان العرضية لأنها تعرّض حركة الرياح السائدة، وكثيراً ما تنشأ

نتيجة لتلامس الكثبان هلالية، الشكل (I - 4)



الشكل I - 4: الكثبان المستعرضة

3. الكثبان الطويلة: تنشأ الكثبان الطويلة موازية لاتجاه الرياح السائدة، وتبعد هذه الكثبان دوره حيالها بكتبان هلالية

ثم تحول إلى طولية، حينما تتعرض إلى رياح جانبية تتقاطع مع الاتجاه العام للرياح الدائمة، الشكل (I - 5).



الشكل I - 5: الكثبان الطولية

4. الكثبان النجمية: تتشكل الكثبان النجمية حينما تأتي الرياح من عدة اتجاهات، ويتناسب عدد أذرع النجوم

الرمليّة، وطول كل ذراع منها مع اتجاهات الرياح السائدة، الشكل (I - 6) .



الشكل I-6: الكثبان النجمية.

2.3.I. مكونات الكثبان الرملية:

تتكون رمال الكثبان من ثلاثة معادن رئيسية هي : الكوارتز والجبس والكالسيت.

1.2.3.I.1. الكوارتز:

هو ثاني أكثر مادة متوفرة على سطح الأرض، تتكون من بلورات سداسية الشكل والتي تتكون بدورها من سيليكا ثلاثة التبلور (ثاني أكسيد السيليكون SiO_2) [7] وهو منتشر في جميع أرجاء العالم كأحد مكونات الصخور كما يوجد كترسبات نقية، ويستخدم المرو (السليكا) في تصنيف الصخور النارية حيث تعد الصخور النارية التي تحوي نسبة عالية من الكوارتز (66%) صخور نارية حمضية وكلما قلت نسبة السليكا تصبح هذه الصخور قاعدية، ويتميز بريق لافلزي زجاجي ويكون بألوان متعددة حيث هناك الكوارتز الوردي والأسود والشفاف وغيرهم وذلك نتيجة اختلاف التركيب الشبكي واختلاف نسبة وأنواع الشوائب، تقدر صلابة الكوارتز بسبع درجات حسب مقياس موهم، وتبلغ كثافته $2.65g/cm^3$ ، وتظهر بلورات الكوارتز خاصية تعرف باسم الكهربائية الضغطية، حيث أنها تنتج كهرباء عند ضغطها على طول اتجاهات متعددة من الكريستال، ولها ميزة تدوير مستوى سطح الضوء المستقطب وبالتالي فهي تستخدم في المجاهير المستقطبة، ويستخدم الكوارتز في صناعة الساعات والأجهزة الحديثة [8].

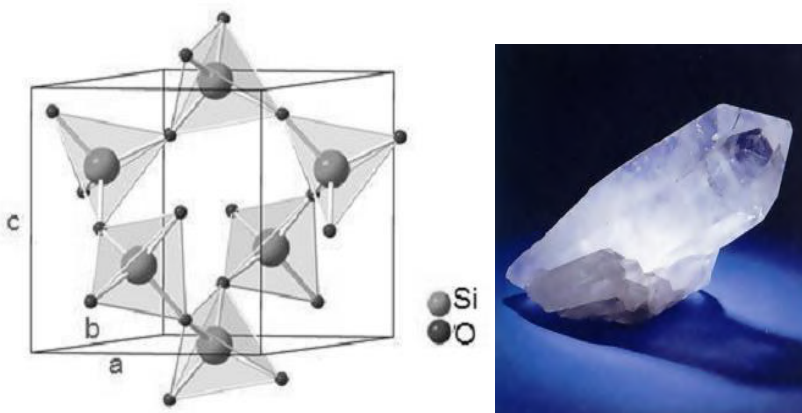
الفصل الأول:

عموميات حول رمل الكثبان

يظهر الكوارتز على شكلين هما الكوارتز α والكوارتز β ، يحتوي الكوارتز α (كوارتز درجة الحرارة المنخفضة) على ثلاثة جزيئات من SiO_2 ويمثل شبكة سداسية ثلاثة الشناطر ذات الأبعاد البلورية التالية [9]:

$$a=b=4.913\text{ }A^\circ \quad C=5.405\text{ }A^\circ \quad \alpha=\beta=90^\circ$$

وعند تسخينه يحدث له تحول انتقائي مباشر (شبيه بلوري) إلى الكوارتز β (كوارتز درجة الحرارة المرتفعة) عند درجة حرارة 573°C .



الشكل I-7: البنية البلورية للكوارتز [10] و صورة [8].

المجدول I-2: الخواص الفيزيو كيميائية للكوارتز [14].

الكوارتز	المركب
SiO_2	الصيغة الكيميائية
60.085	الكتلة المولية (g/mol)
22.688	الحجم المولى (Cm^3)
غير قابل	قابلية الذوبان
7	صلابة
1.554–1.543	قرينة الانكسار
$4 * 10^{12}$	المقاومة الكهربائية (Ωm)
1713–1705	درجة الانصهار ($^\circ\text{C}$)

2.3.I 2.3.I. الحجر الكلسي(الكالسيت) :

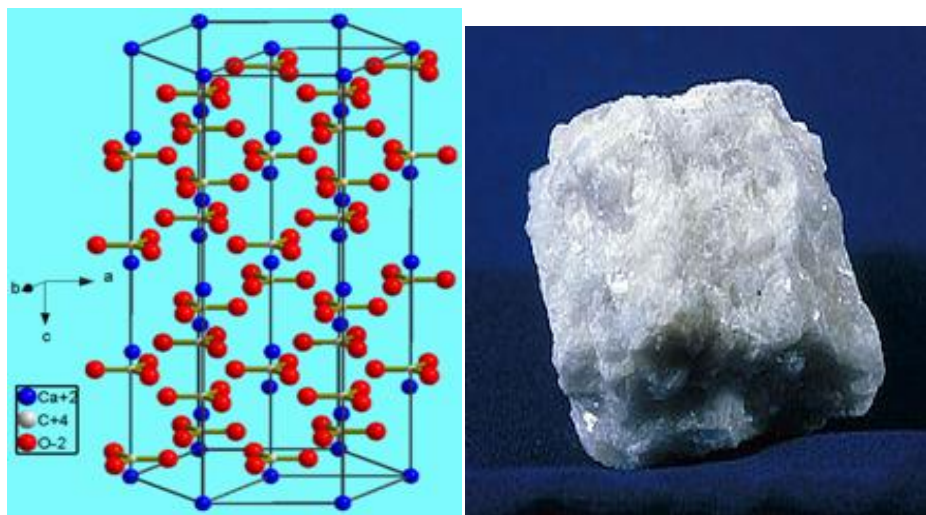
هو صخر رسوبي يتكون بشكل رئيسي من كربونات الكالسيوم ($CaCO_3$) [9]، نظامها البلوري سداسي أما شكلها الخارجي عبارة عن بلورات منسوجة أو على شكل توائم سداسية، تتوارد على شكل كتل متراصة، بلورات مجهرية (الحجر الجيري)، ليفية، متصلبة، ذو ألوان مختلفة عديم اللون، أبيض، وردي، أخضر، أصفر [11]، ويكون عادة على شكل كاسيات أو أراجونايت وقد يحتوي أيضاً كميات كبيرة من كربونات المغنيسيوم (الدولومايت)، وأيضاً قد يتضمن على بعض المكونات الأخرى ولكن بكميات بسيطة مثل الطين وكربونات الحديد والفلدسبار والبيرايت والكوارتز.

أكثر الأحجار الكلسية لها قوام حبيبي، ويتراوح تلك الحبيبات ما بين 0.001mm إلى حبيبات الكبيرة المرئية.

للكلس استخداماته الهامة في صناعة الزجاج والزراعة أيضاً، وبعض أنواع الحجارة الكلسية تدخل في مجال البناء.

الجدول I - 3: الخواص الفيزيو كيميائية للكلس [14].

الكلس	المركب
$CaCO_3$	الصيغة الكيميائية
100.089	الكتلة المولية (g/mol)
36.9257	الحجم المولي (Cm^3)
في الأحماض المخففة	قابلية الذوبان
3	صلابة
2.7106	قرينة الانكسار
$2 * 10^{12}$	المقاومة الكهربائية (Ωm)



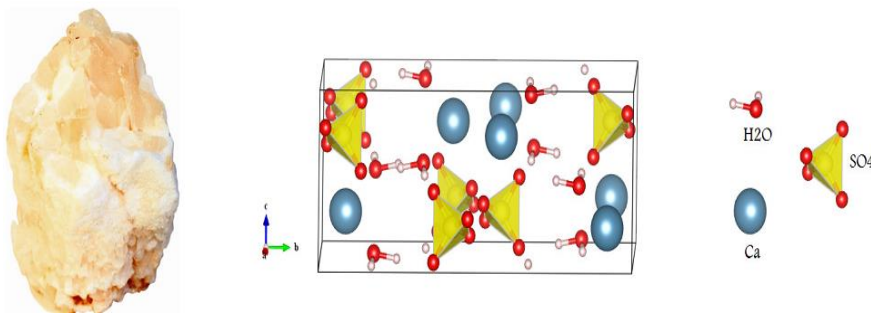
الشكل I-8: البنية البلورية للكلس وصورة له [9].

3.2.3.I. الجبس :

هو مادة صلبة مكونة من ثانوي كبريتات الكالسيوم المائية ($\text{CaSO}_4 \cdot 2\text{H}_2\text{O}$) ، وهو من الخامات المتوفرة بكثرة في الأرض وهو معدن كبريت منتشر في الطبيعة بأحد شكليه المعدن أو صخر رسوبي وهو ينتمي مع معدن الأكمدريت (كبريتات الكالسيوم اللامائية) ويتواجد مع الطين والحجر الجيري وهو ذو لون رمادي أو أبيض ويعيل إلى الاحمرار في بعض الأحيان وقد يكون وجوده على سطح الأرض أو على أعماق قد تصل إلى 350 متر.

يستخدم الجبس كمادة رابطة للوحدات البناءية ويستعمل في أعمال الإناء أو كمادة تدخل في إنتاج بعض المنتجات الجبسية، إلا أنه يمتاز بتأثيره بالرطوبة، لذا يجب استخدامه في المناطق غير معرضة للرطوبة [12] ويستخدم أيضاً في صناعة القوالب الخاصة بالسحت والزخرفة وغيرها.

يتبلور الجبس وفق نظام بلوري أحادي الميل (monoclinic) [13] ، وفق الشكل (I-9).



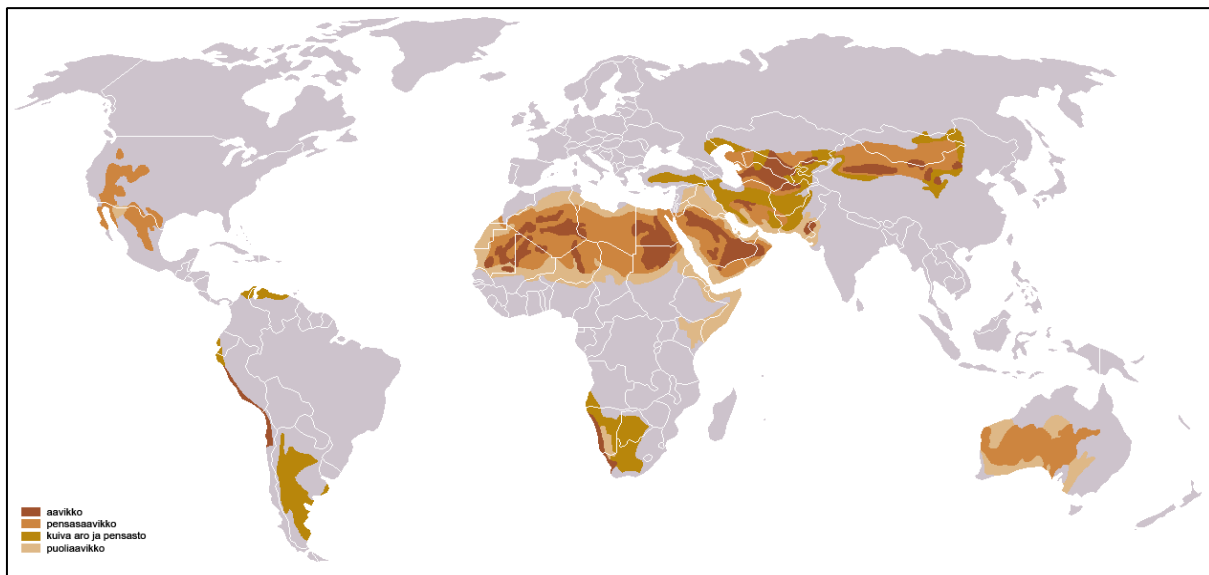
الشكل I-9: البنية البلورية للجبس وصورة له [14]

الجدول I-4: الخواص الفيزيو كيميائية للجبس [14].

الجبس	المركب
$\text{CaSO}_4 \cdot 2\text{H}_2\text{O}$	الصيغة الكيميائية
172.173	الكتلة المولية (g/mol)
74.440	الحجم المولي (cm^3)
في حمض HCl مع التسخين	قابلية الذوبان
2-1.5	صلابة
1.530-1.519	قرينة الانكسار
$1.21 * 10^{14}$	المقاومة الكهربائية (Ωm)

I.3. توزع الكثبان الرملية في العالم وفي الجزائـر:

تغطي الرمال القارية حوالي 30% تقريباً من الغطاء الرسوبي للقشرة الأرضية، فيما تتموضع الرمال القارية ذات البيئة الترسيبية الصحراوية (الكثبان الرملية) بمعدلات مختلفة في العالم، كما في الشكل I-10:



الشكل I-10: توزع الكثبان الرملية الصحراوية في العالم(البني الداكن).

تغطي الكثبان الرملية حوالي 18% من صحراء إفريقيا [15] والتي تعتبر الجزائر أكبر دولة مساحة .

تقدير مساحة الجزائر حوالي 2.4 مليون كيلو متر مربع، وتحتل الصحراء منها أكثر من أربعة أخماس مساحتها الإجمالية، حيث تتوفر الصحراء الجزائرية على مخزون هائل من الرمال التي تغطي أكثر من 40% من مساحتها والتي تعد مصدرا طبيعيا، محليا ومحانيا لمادة الكوارتز التي تمثل أكثر من 70% من تركيب الرمل بالصحراء الجزائرية [16]



الشكل I-11: توزع الكثبان الرملية الصحراوية في الجزائر [17]

الفصل الثاني

٩

التقنيات المستعملة في

التحليل

من خلال هذا العمل حاولنا إجراء دراسة تطبيقية على رمل كثبان منطقة الطبيات، وذلك بأخذ عينات منها وتحليلها باستعمال العديد من تقنيات التحليل الفيزيائية والكيميائية، التي سوف نتطرق إليها في هذا الفصل .
كما سنتطرق أيضاً إلى نبذة عن منطقة الدراسة والمعروفة بمنطقة الطبيات .

1.II. نبذة عن منطقة الدراسة:

أجرينا هذه الدراسة على عينة من رمل كثبان منطقة الطبيات، وهي إحدى دوائر ولاية ورقلة تقع في الشمال الشرقي من الولاية على حدود مع ولاية الوادي، تتميز كثباتها باللون الأصفر والأبيض ، وتصنف تحت نوع الكثبان الطويلة التي تنشأ بصورة موازية لاتجاه الرياح السائدة، والشكل(1-II) يوضح ذلك .



الشكل II-1: صورة توضح الكثبان الرملية للمنطقة.

2.II. التقنيات المستعملة في الدراسة:

1.2.II. التحليل الكيميائي :

يهدف التحليل الكيميائي لعينات من الرمل في المخبر إلى :

- معرفة بعض مكونات الرمل

1.1.2.II. تجربة المكافئ الرملي:

الهدف من التجربة هو تحديد نسبة الشوائب والمواد العالقة الموجودة في الرمل لمعرفة مدى نقاوته، وتتم التجربة بأحد العينة من المحفف ونقوم بغربلتها بغرابال 2مم.

نقوم بوزن 120 غ من الرمل الناعم (بدون شوائب) بواسطة الميزان الالكتروني، ثم نملأ الأنوبب محلول الغسول إلى غاية التدريجة 10 سم، ونصيف العينة إلى الأنوبب بواسطة قمع والانتظار لمدة 10د، ثم نضع الأنوبب في جهاز الرج لمدة 30د (90رجة) بعد نزع الأنوبب من جهاز الرج، وتركه يرتاح لمدة 20د على أن يتربى تماماً ونقرأ بواسطة المسطرة H_1 ، أما H_2 فنقوم بإدخال المكبس داخل الأنوبب ونقرأ.

H_1 : رمل+شوائب.

H_2 : ارتفاع حبيبات الرمل.

نقوم بتكرار العملية على الأقل ثلاث مرات وبعد ذلك نقوم بحساب المكافئ الرملي وفق العلاقة التالية:

$$ES = \left(\frac{h_2}{h_1} \right) * 100 \quad (1.II)$$



الشكل II-2: صورة توضح تجربة المكافئ الرملي.

2.1.2.II. تجربة التحليل الكيميائي :

• الكشف عن المواد غير المذابة:

- نأخذ بيشر ذو سعة 250ml ونضع فيه 1g من العينة.
- نضيف 100ml من محلول حمض كلور الماء (حمض الكلورهيدريلك).
- نضع البيشر في صفيحة التسخين ونتركه يغلي لمدة 5 دقائق ثم نضعه برطاح لمدة 15 دقيقة.
- نجلب أنبوب اختبار ذو سعة 250ml ونضع فوقها أقماع ونضع للأقماع أوراق ترشيح، ونفرغ العينة السابقة في أنبوب الاختبار ونتركه يترشح.
- بعد الترشيح نغسل البيشر وورق الترشيح بالماء المقطر الساخن.

نضع الورق والعينة التي تبقيت فيه بعد الترشيح في البوتقة وندخله المحفف لمدة 15 د تحت درجة 105°C ، ثم نضعها في

الفرن لمدة 15 د تحت درجة 900°C ، بعد تبريد العينة نقوم بوزنها ونحسب نسبة المواد غير مذابة وفق العلاقة التالية:

$$\text{INS\%} = \frac{P_2 - P_1}{P_0} * 100 \quad (2.\text{II})$$



ب- المواد غير مذابة

أ- عملية الترشيح

الشكل II-3: صورة توضح تجربة الكشف عن المواد غير المذابة.

• الكشف عن الجبس :

- نضيف الماء في الأنوبب حتى نصل إلى 250ml (الماء الذي رشحنا به العينة) ونقوم بعملية التحرير
- نأخذ 100ml من الأنوبب ونضيف 10ml من كلور الباريوم، ثم نضعه في صفيحة تسخين حتى الغليان
- نضع البيشر في حوض مائي بارد ثم نقوم بعملية الترشيح مرة أخرى، ونغسل بالماء الساخن
- نضع ورق الترشيح + المادة المرسبة في البوتقة ونضعها في المحفف لمدة 15 د تحت درجة حرارة 900 °C
- نخرج البوتقة من الفرن ونقوم بوزنها، ونقوم بحساب نسبة الجبس وفق العلاقة التالية:

$$\text{CaSO}_4 + 2\text{H}_2\text{O} \% = \frac{\text{P}_2 - \text{P}_1}{\text{P}_0} * 184.23 \quad (3.\text{II})$$



أ- إضافة كلور الباريوم ب- عملية الترشيح

الشكل II-4: صورة توضح تجربة الكشف عن الجبس.

• الكشف عن كربونات الكالسيوم CaCO_3

■ الهدف : المهدى من التجربة هو معرفة نسبة الكربونات في عينة من الرمل

- نضع 0.5g من العينة في بيشر ذو سعة 100ml
- نضيف له 10ml من حمض كلورو هيدريلك (نظاميته 1 نظامي)

الفصل الثاني:

التقنيات المستعملة في التحليل

- نضيف قطرتين إلى ثلاثة قطرات من فينول فتالين من أجل الكشف عن كربونات الكالسيوم
- نقوم بتسخين المزيج (لتحفيز التفاعل) ونعاير بيدروكسيد الصوديوم NaOH (معايرة حمض أساس) نضعها في المرج المغناطيسي ونفتح السحاحة
- بعد الحصول على اللون البنفسجي الفاتح نوقف التفاعل ونقرأ مقدار الحجم المضاف من السحاحة
- نسبة كربونات الكالسيوم تحسب وفق العلاقة التالية:

$$\text{CaCO}_3\% = \frac{V_{\text{HCl}} - V_{\text{NaOH}}}{m_0} * 5 \quad (4.\text{II})$$



- أ- عملية الرج
- ب- إضافة فينول فتالين للكشف عن كربونات الكالسيوم

الشكل II-5: صورة توضح عملية الكشف عن كربونات الكالسيوم.

• الكشف عن ملح الطعام : NaCl

■ الهدف: معرفة نسبة NaCl في عينة من الرمل.

- نأخذ 50g من الرمل
- نضيف له 100ml من الماء المقطر

الفصل الثاني:

التقنيات المستعملة في التحليل

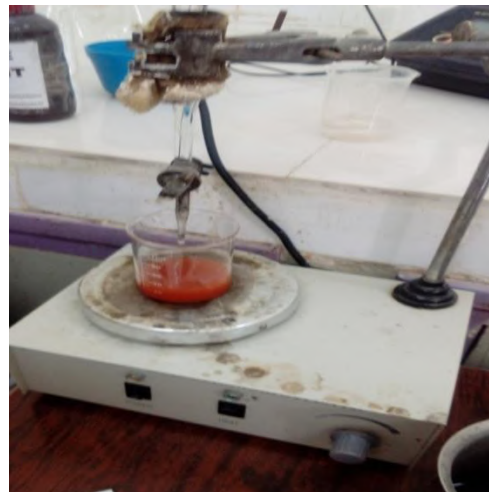
- نقوم بوضع المزيج في جهاز الرج بالاهتزازات ونتركه لمدة 24h
- نقيس درجة حموضة العينة بمقياس ال pH
- نقوم بعملية الترشيح بواسطة ورق الترشيح ونتركه لمدة 15mn
- نأخذ 25ml من المحلول المرشح ونصيف لها قطرتين من حمض السلفيريك H_2SO_4 (درجة 0.02) حتى لانخفاض من درجة pH
- نضيف قطرتين من كرومات البوتاسيوم (كافش ملون)
- نضيف إلى السحاقة نترات الفضة $AgNO_3$
- نضع البישر في جهاز الرج المغناطيسي ونقوم بفتح السحاقة حتى يصبح اللون أحمر أحوري ونقرأ الحجم المضاف من السحاقة .

- نسبة الكلور تحسب وفق العلاقة التالية:

$$Cl^- \% = V_{AgNO_3} * 0.005672 \quad (5.II)$$

- تحسب نسبة ملح الطعام وفق العلاقة التالية:

$$NaCl \% = Cl^- * 1.64 \quad (6.II)$$



أ- عملية الرج ب- قياس درجة الحموضة(pH)

الشكل II-6: صورة توضح عملية الكشف عن ملح الطعام.

2.2.II. التحليل الفيزيائي:

- الكتلة الحجمية للرمل يساعد التحليل الفيزيائي على معرفة :

- التدرج الحبيبي

1.2.2.II. تجربة الكتلة الحجمية للرمل:**• الكتلة الحجمية الظاهرية للرمل:**

هي كتلة المادة(الرمل) بالنسبة لوحدة الحجم مع حساب الفراغات وتعطى بالعلاقة التالية[18]:

$$\rho_a = \frac{M_t}{V_t} \quad (7.II)$$

.كتلة العينة (g). M_t

. (Cm^3) : حجم الوعاء V_t

ρ_a : الكتلة الحجمية الظاهرية للعينة $\left(\frac{g}{Cm^3}\right)$

▪ طريقة التجربة:

- نقوم بغربلة الرمل في غربال 0.5ml
- نزن الوعاء وهو فارغ
- نزن الوعاء المملوء بالرمل: نضع الوعاء تحت القمع بعد غلق فتحته ثم نقوم بملأه بالرمل ثم نقوم بفتحه للسماح بمرور الرمل إلى الوعاء وبواسطة مسطرة خاصة نزيل الفائض من الرمل دون الضغط على محتوى الوعاء، ونكرر التجربة أربع مرات.

- نقوم بطرح وزن الوعاء وهو فارغ من الوزن الكلي (الوعاء + رمل) للحصول على وزن الرمل.
- نقوم بحساب القيمة المتوسطة لوزن الرمل لإيجاد القيمة التقريرية :

$$M = (P_1 + P_2 + P_3 + P_4) \quad (8.II)$$

- حسب الكتلة الحجمية الظاهرية بتطبيق العلاقة :

$$P/V \quad (9.II)$$



الشكل II - 7: صورة توضح تجربة الكتلة الحجمية الظاهرية.

• **الكتلة الحجمية المطلقة:**

هي النسبة بين كتلة المادة الصلبة على الحجم، بدون حساب الفراغات الموجودة بين الجزيئات وتعطى

بالعلاقة التالية [18]:

$$\rho_s = \frac{M_s}{V_s} \quad (10.II)$$

ρ_s : الكتلة الحجمية المطلقة $\left(\frac{g}{cm^3} \right)$

M_s : كتلة العينة (g)

V_s : حجم الوعاء (cm^3)

▪ **طريقة التجربة :**

- نقوم بوزن 300g من الرمل

الفصل الثاني:

التقنيات المستعملة في التحليل

- نملأ الحوجلة بالماء ثم نقوم بوزنها

- نضع 300g من الرمل في حوجلة ثم نملأها بالماء ونقوم بوزنها

- نقوم بحساب حجم الرمل الجاف وفق العلاقة التالية :

$$V = P_3 - P_4 \quad (11.II)$$

حيث :

P_3 : وزن الرمل + وزن الحوجلة المعلوقة بالماء

P_4 : وزن الحوجلة + الرمل + الماء

- نحصل على الكتلة الحجمية المطلقة للرمل من خلال العلاقة التالية :

$$P_1/V \quad (12.II)$$



الشكل II-8: صورة توضح تجربة الكتلة الحجمية المطلقة

2.2.2.II. تجربة التدرج الحبيبي:

- الهدف: تهدف التجربة إلى الحصول على توزيع وتصنيف حبيبي للمادة حسب حجم حبيباتها باستعمال مجموعة من الغرایيل.

■ مراحل التجربة:

- تقوم بوزن عينة من الرمل: $M=1000\text{g}$
- تقوم بتحضير مجموعة من غرایيل الرمل ذات الأبعاد (من 0.080mm إلى 5 mm)
- تقوم بفرولة العينة بمجموعة من المناخل بواسطة اليد
- نزن كمية الرمل المتبقية من كل منخل، ونضعها في جدول لحساب النسب المئوية المارة
- نرسم المنحنى البياني بحيث: محور الفواصل يمثل أقطار الغرایيل، ومحور التراتيب يمثل النسب المئوية لكميات الرمل المارة



الشكل II-9: صورة توضح المناخل المستعملة في تجربة التدرج الحبيبي.

3.2.II. الأدوات المستعملة:

- ميزان إلكتروني : هو عبارة عن جهاز يستعمل لقياس الكتل الصغيرة ، كالمستعملة في المختبر الكيميائي يعطي مباشرة قيمة الكتلة بالأرقام ، مزود بأزرار تحكم .



الشكل II-10: ميزان حساس

■ **ميزان الرمل** : تقوم بوضع الرمل في الإناء المقابل وزنه بميزان حساس



الشكل II-11: ميزان الرمل

■ **جهاز الـرج** :



الشكل II-12: جهاز الـرج

■ جهاز الرج المغناطيسي :



الشكل II-13: جهاز الرج المغناطيسي

✓ جهاز الرج بالاهتزازات :



الشكل II-14: جهاز الرج بالاهتزازات.

4.2.II. تجربة إجهاد القص :

إجهاد القص : تعرف مقاومة التربة للقص بإجهاد المقاوم لشكل قص مستمر مؤثر على حبيبات أو شكل التربة.

المدف من التجربة : هو تعين معاملات القص وهم زاوية الاحتكاك ϕ وقوة التماسك C للرمل .

- **مبدأ التجربة :** هو تعين زاوية الاحتكاك ϕ وقوة التماسك C لعينة من الرمل تكون معرضة لاجهاد ناظمي ،

حيث توضع هذه الأخيرة بين نصفي العلبتين اللتين يمكنهما أن تتحرك الواحدة بالنسبة للأخرى .

- **تحضير العينة :** تأخذ هذه العينات من موقع المراد دراسته وفي حالة تعذر ذلك تنقل هذه العينات للمخبر

مضاف لها كميات من الماء لتصبح عجينة سهلة القطع عن طريق قالب له أبعاد علبة القص المباشر للحصول على

الأبعاد

الأدوات المستعملة :

- جهاز القص
- علبة القص
- ميكانيكية

خطوات التجربة:

- توضع العينة محضرة سابقا في علبة القص.
- يثبت الجزء السفلي والعلوي لها بواسطة برااغي التثبيت التي تزع قبلا إجراء التجربة.
- توضع العلبة بما تحتويه في الصندوق المثبت على الجهاز.
- يوضع المكبس على السطح العلبة مزودة بحمل ابتدائي.
- تزرع برااغي التثبيت لسماح بحركة الجزء العلوي.
- تثبت المؤشرات عند الصفر لكل من عدادي الإزاحة الأفقية وعدد القوة الأفقية المطبقة.
- يشغل الجهاز ونسجل القراءات بالنسبة للعينة الأولى بعد كل 15 ثانية.
- توقف التجربة عندما يبدأ المؤشر قياس قوة القص بالتناقض في القراءات.

- نقوم بإجراء التجربة على 3 عينات تحت حمولات متزايدة.

العلاقات الحسابية:

1. حساب إجهاد القص (P_a):

$$\tau = \frac{F}{A} \quad (13.II)$$

حيث :

F : قوة القص (N)

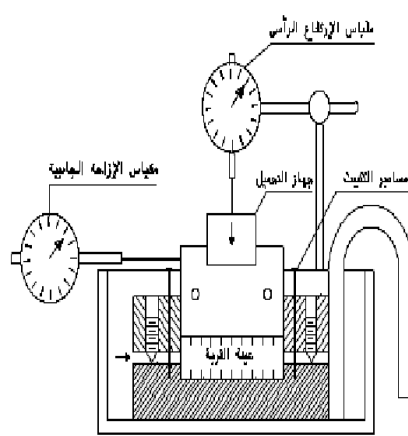
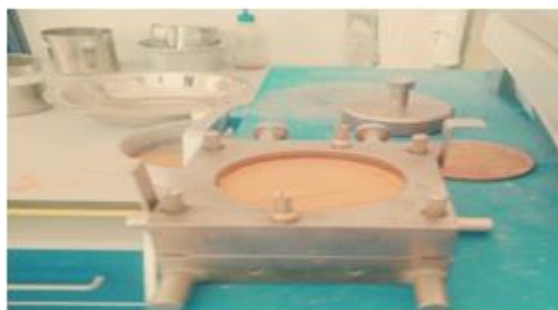
A : مساحة مقطع العينة (m^2)

2. حساب إجهاد الضغط :

$$E = P/A \quad (14.II)$$

حيث :

P : ثقل الحمولات.



الشكل II-15: الجهاز المستعمل ورسم تخطيطي له ونموذج إحدى العينات في تجربة إجهاد القص.

5.2.II. تقنية التحليل بانعراج الأشعة السينية XRD:

اكتشفت الأشعة السينية عام 1895 على أيدي رونتجن ، وتأكدت طبيعتها الموجية عام 1913 عندما أحريت أولى

تجارب الحيوان التي اقترحها "فون لاو" ثم بينت التجارب اللاحقة إن الأشعة السينية موجات مستعرضة، وإنها موجات كهرومغناطيسية [19]، وقد أثبت أيضاً أن طبيعة الأشعة السينية هي نفس طبيعة الضوء العادي مع فارق طول الموجة [20]

اقترح "فون لاو" استخدام بلورة مفردة لحيود الأشعة السينية وكان ذلك بعد أن تبين له أبعاد البلورة المفردة لا تختلف كثيراً عن الطول المتوقع للأشعة السينية ، وقام "فريد رش" تحت أشراف "لاو" نفسه بتسلیط حزمة من الأشعة السينية على بلورة مفردة ثم أسقطت الأشعة بعد مرورها خلال البلورة على لوحة تصوير وتم الحصول لأول مرة على نموذج حيود مميز يتكون من مجموعة من النقاط المضيئة المرتبة بصورة منتظمة ، ويعرف بنموذج "لاوي" وقد تمكّن "براغ" من تطوير وتبسيط هذه الطريقة فيما بعد [21].

1.5.2.II مبدأ انعراج الأشعة السينية :

تُعرَّض المادة المراد فحصها لحرمة من الأشعة السينية لتنعرج عليها بزاوية θ ، كما يبين الشكل (II-15). تُقاس شدة الأشعة المنعرجة مع تغير زاوية الانعراج.

إن طاقة الأشعة السينية التقليدية هي $E=6-17\text{keV}$ ، وتوافق طول موجة قدره $\lambda=0.7-2\text{\AA}$ في حال كانت البنية

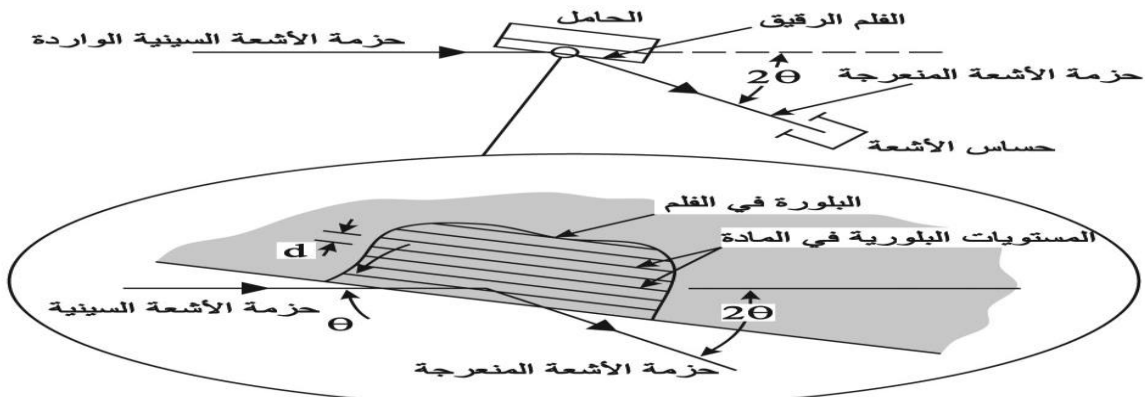
البلورية مكعبية وثابت الشبكة فيها a_0 ، فإن المسافة بين المستويات البلورية d_{hkl} :

$$d_{hkl} = \frac{a_0}{\sqrt{h^2+k^2+l^2}} \quad (15.II)$$

أي إن موجة الأشعة السينية ذات الطول λ تنعرج انعراجاً بناءً (في شدة الأشعة المقاسة أعظمية)، في حال تحقق قانون

براغ Bragg's law التالي: [22]

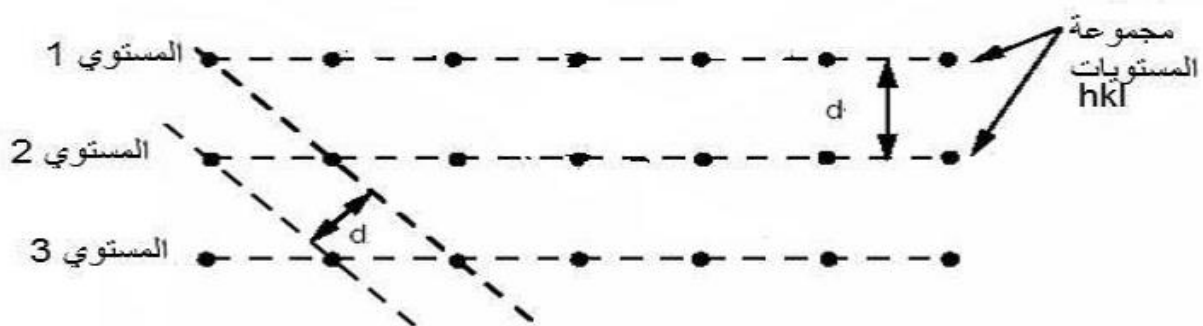
$$2d_{hkl} \sin \theta_{hkl} = \lambda \quad (16.II)$$



الشكل II-16 : انعراج الأشعة السينية لفحص البنية البلورية للمادة [22].

II.5.2.2. المستويات الشبكية:

إن الذرات تنظم في البلورة على ثلاثة إتجاهات، ويطلق على هذا التنظيم الشبكة البلورية، يمكن وصف هذه الأخيرة على أنها التوزيع المنتظم للذرات أو الجزيئات أو الأيونات، وتمثل على شكل مستويات متوازية ومتباينة بمسافة متساوية وتسمى بالمستويات الشبكية والشكل (II-17) يوضح ذلك.



الشكل II-17: مخطط يوضح المستويات الشبكية.

هناك عدة طرق يمكن من خلالها اختيار المستويات الشبكية، وكل طريقة تشكل فيها عائلة مستويات وتسمى المسافة الفاصلة بين مستويات نفس العائلة بالمسافة الشبكية [23].

3.4.2.II. قانون براغ:

في عام 1913 وضع براغ الشروط الهندسية لحيد حزمه وحيدة الطول الموجي من الأشعة السينية وقد افترض أن حزمه الأشعة الساقطة على البلورة تعكس مثلاً تبعكـس الأشعة العادـية عن مرآة مستـوية (زاوـية السقوـط تساـوي زاوـية الانعـكـاس) بالنسبة لمختلف المستـويـات الذـرـية في البلـورـة، وإن الـربـط بين زاوـية السـقوـط وطـول المـوجـة للـضـوء المستـعمل والـمسـافـة بيـن مستـويـات الانعـكـاس شـرـط أـسـاسـي لـلـانـعـكـاس الجـيد (براـغ) [24]

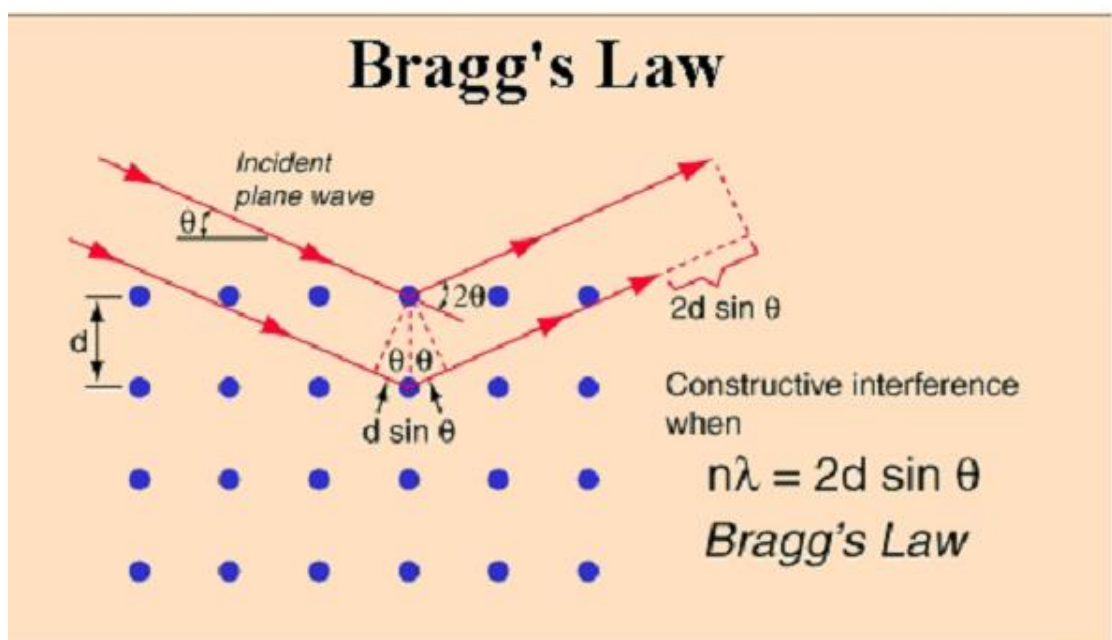
وإن كل مـسـطـو ذـري لا يـعـكـس سـوى جـزـء صـغـير من الإـشعـاع الوـارـد، وهذا يـتفـق مع ما هو مـعـرـوف من قـدرـة الأـشـعـة السـينـية عـلـى النـفـوذ دـاخـلـ الـبـلـورـة. وتـكـون شـدـة الأـشـعـة المـنـعـكـسـة في اتجـاهـ معـيـن عـنـ المـسـتـويـات المـتـوازـية قـوـيـة إـذـا كـانـتـ أـمـواـجـها مـتـفـقـةـ فـيـ الـطـورـ، أيـ كـانـتـ فـروـقـ المسـيرـ بيـنـها مـسـاوـيـةـ عـدـدـاً صـحـيـحاًـ مـنـ طـولـهاـ المـوـجيـ، لأنـهاـ تـتـدـاخـلـ آنـذـ آنـذـ تـدـاخـلـ بـنـاءـ بـؤـديـ إلىـ زـيـادـةـ شـدـهـاـ. أماـ الأـشـعـةـ الـتـيـ لاـ تـحـقـقـ هـذـاـ شـرـطـ فـتـكـونـ شـدـهـاـ ضـعـيفـةـ وـلـاـ تـرـصـدـ.

يتـضـحـ مـنـ الشـكـلـ (II-18)، أنهـ يـمـكـنـ رـصـدـ الأـشـعـةـ المـنـعـكـسـةـ فـيـ الـاتـجـاهـ الـذـيـ يـشـكـلـ الزـاوـيةـ θ ـ مـعـ اـتجـاهـ الأـشـعـةـ السـاقـطـةـ إـذـاـ حـقـقـتـ الزـاوـيةـ θ ـ عـلـاـقـةـ بـراـغـ الـآـتـيـةـ [25]:

$$2d \sin \theta = n\lambda \quad (17.II)$$

d : البـعدـ بـيـنـ مـسـتـويـينـ بـلـورـيـنـ.
 n : رـتـبةـ الـانـعـكـاسـ $(^0)$

λ : طـولـ مـوـجيـ لـلـإـشعـاعـ السـيـنـيـ.
 θ : زـاوـيةـ الـانـعـكـاسـ.



الشكل II-18: مخطط يوضح قانون براغ وعملية الحيود هندسيا [24].

4.5.2.II . الجهاز المستعمل في تقنية انعراج الأشعة السينية:

الجهاز المستعمل في هذه الدراسة هو SEIFERT_XRD 3003 TT والذى يعمل وفق هندسة Bragg-

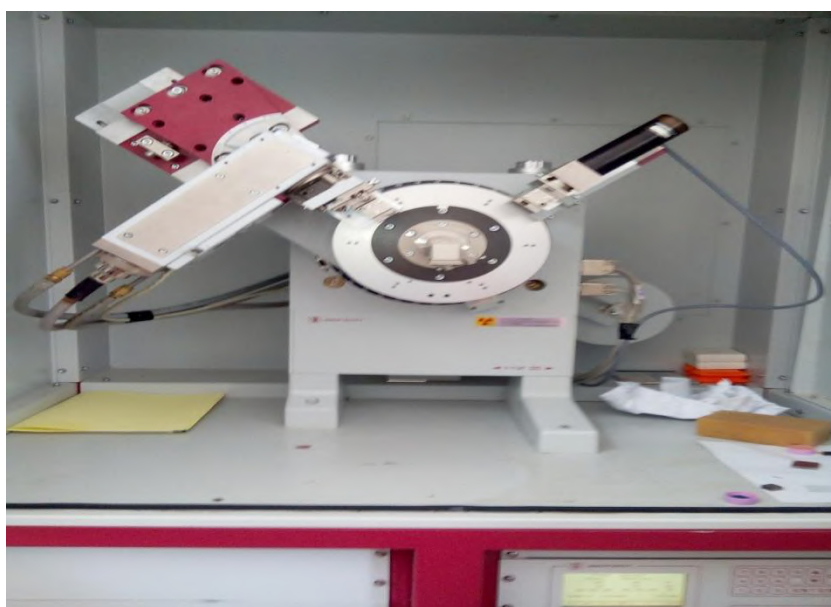
. Brentano وهي الهندسة الأكثر استعمالا، والذي يعمل تحت توتر مقداره 40KV وشدة تيار 30mA.

يمثل الشكل (II-19) : صورة لجهاز انعراج الأشعة السينية.



الشكل II-19: صورة لجهاز انعراج الأشعة السينية.

ويمثل الشكل (II-20): جهاز انعراج الأشعة السينية من الداخل، المهبط المستعمل يكون مصنوع من النحاس.



الشكل II-20: صورة لجهاز انعراج الأشعة السينية من الداخل.

5.4.2.II تحضير العينة لإجراء التحليل بواسطة اشعاع الأشعة السينية XRD:

يتم وضع العينة في حامل العينة، ثم ضغطه بواسطة صفيحة زجاجية إلى أن تتحصل على سطح مستو ثم وضعه داخل الجهاز.

لإجراء التحليل الكيفي للعينة يتم استخدام الطول الموجي $\lambda_{CuK\alpha} = 1.54\text{\AA}$ ، حيث تم مسح المجال 2θ من 20° إلى 90° وفرق جهد مقداره 40KV وشدة تيار قدره 30mA وسرعة الدوران $0.05^{\circ}/\text{s}$ ، في زمن قدره 23 دقيقة .

- من خلال هذه التقنية يتم تحديد خطوط الانعراج ومعرفة المسافة d_{hkl} باستخدام قانون برااغ :

$$2d \sin \theta = n \lambda \quad (17.\text{II})$$

إذا اعتبرنا $n=1$ تصبح المعادلة كالتالي:

$$2d \sin \theta = \lambda \quad (18.\text{II})$$

وهو صيغة قانون برااغ المستعمل لتحليل النتائج التجريبية بالمقارنة بين النتائج التجريبية ونتائج المدرجة في قاعدة البيانات.

الفصل الثالث

مناقشة وتحليل النتائج

الفصل الثالث:

المناقشة وتحليل النتائج

سنفهم في هذا الفصل بتحليل ومناقشة النتائج المتحصل عليها بواسطة تقنية انعراج الأشعة السينية وبعض القياسات الفيزيائية والكيميائية التي تم إجراؤها على العينة.

1.1.1. III نتائج التحليل الكيميائي للرمل :

1.1.1. III نتائج تجربة المكافئ الرملي:

الجدول III-1: نتائج المكافئ الرملي لرمل كثبان الطيبات.

المحاولات	1	2	3
الارتفاع الكلي H_2 (Cm)	10	10.8	10.5
ارتفاع الرمل H_1 (Cm)	9.5	9.4	9
المكافئ الرملي (%)	$ES = \frac{H_2}{H_1} * 100$	88.67	85.71
القيمة المتوسطة للمكافئ الرملي (%) ES	87.19		

• مقارنة نتائج المكافئ الرملي:

الجدول III-2: نتائج المكافئ الرملي للعينات الثلاثة.

العينات	نسبة المكافئ الرملي (%) ES
رمل كثبان منطقة الطيبات	87.19
رمل كثبان منطقة حاسي ميلود	64.91

نلاحظ من خلال التجربة أن :

نسبة المكافئ الرملي لرمل كثبان منطقة حاسي ميلود تساوي 64%， أما بالنسبة لرمل كثبان منطقة الطبيات فتساوي 87%， وهذا يدل على أن رمل كثبان منطقة الطبيات يحتوي على نسبة قليلة من الشوائب تقدر ب 12.81%.

2.1.3. نتائج التحليل الكيميائي:

الجدول III-3: التحليل الكيميائي للعينات الثلاثة.

العينات			الكافش	المركب
رمل منطقة عين البيضاء	رمل منطقة حاسي ميلود	رمل منطقة الطبيات		
0.5%	1%	10%	فينول فتالين NFT 15-461	CaCO_3
0.31%	1.27%	7.31%	(BaCl ₂) الباريوم BS 1377	CaSO_4
0.058%	0.23%	1%		SO_3^-
-	-	2%		SO_4^{2-}
-	-	88.69%	حمض كلور الماء	INS
0.0065%	0.040%	0.018%	كرومات البوتاسيوم	NaCl
0.0099%	0.024%	0.011%		Cl^-

نلاحظ من خلال تجربة التحليل الكيميائي للعينات الثلاثة أكما تكون من:

- نسبة كبريتات الكالسيوم المائية : $CaSO_4 \cdot 2H_2O$

بيّنت النتائج أن نسبة الجبس في رمال كثبان منطقة عين البيضاء تساوي 0.31% أما بالنسبة لرمال كثبان منطقة حاسي ميلود فتساوي إلى 1.27%， أما بالنسبة لرمال كثبان منطقة الطيبات فكانت 7.31% وهي أعلى نسبة من العينتين السابقتين.

- نسبة كربونات الكالسيوم : $CaCO_3$

بيّنت النتائج أن نسبة كربونات الكالسيوم في رمال كثبان منطقة عين البيضاء تساوي 0.5% أما بالنسبة لرمال كثبان منطقة حاسي ميلود فتساوي إلى 1%， أما بالنسبة لرمال كثبان منطقة الطيبات فكانت 10% وهي أعلى نسبة من العينتين السابقتين.

- نسبة أكسيد الكبريت الثلاثي (SO₃⁻):

بيّنت النتائج أن نسبته في رمال كثبان منطقة عين البيضاء تساوي 0.058% أما بالنسبة لرمل كثبان منطقة حاسي ميلود فتساوي 0.23% أما بالنسبة لرمل كثبان منطقة الطيبات فكانت 1% وبالتالي فهي أعلى نسبة من العينتين السابقتين.

- نسبة كلوريد الصوديوم : NaCl

بيّنت النتائج أن نسبة كلوريد الصوديوم في رمل كثبان منطقة عين البيضاء تساوي 0.0065% أما بالنسبة لرمل كثبان منطقة حاسي ميلود فتساوي 0.040%， أما بالنسبة لرمل كثبان منطقة الطيبات فكانت 0.018% .

- نسبة الكلور : Cl

الفصل الثالث:

المناقشة وتحليل النتائج

يبين النتائج أن نسبة الكلور في رمل كثبان منطقة عين البيضاء تساوي 0.0099% أما بالنسبة لرمل كثبان منطقة حاسي ميلود فتساوي 0.024% أما بالنسبة لرمل كثبان منطقة الطبيات فكانت النسبة 0.011%.

III.2. نتائج التحليل الفيزيائي :

III.2.1. نتائج تجربة الكتلة الحجمية :

- الكتلة الحجمية الظاهرية:

الجدول III-4: نتائج تجربة الكتلة الحجمية الظاهرية .

V=161.24	حجم الوعاء (cm ³)
53.38	وزن الوعاء (g)
P ₁ = 243.26	P ₁ + T
P ₂ = 241.41	P ₂ + T
P ₃ = 246.42	P ₃ + T
P ₄ = 244.52	P ₄ + T
243.90	M=(P ₁ + P ₂ + P ₃ + P ₄)/4

- الكتلة الحجمية المطلقة:

الجدول(III-5): نتائج تجربة الكتلة الحجمية المطلقة.

P ₁ = 300	وزن الرمل (g)
P ₂ = 822.49	وزن الحوجلة مملوئة بالماء(g)
P ₃ = P ₁ + P ₂ = 1122.65	مجموع الأوزان(g)
P ₄ = 1009.32	وزن الحوجلة + الرمل + الماء(g)
V=P ₃ - P ₄ = 113.33	حجم حبيبات الرمل (Cm ³)

- مقارنة نتائج الكتلة الحجمية:

الجدول(III-6): نتائج الكتلة الحجمية للعينات الثلاثة المدروسة.

الفصل الثالث:

المناقشة وتحليل النتائج

العينات	الكتلة الحجمية الظاهرية	الكتلة الحجمية المطلقة
رمل منطقة الطيبات	$1.51 \text{g}/\text{Cm}^3$	$2.64 \text{g}/\text{Cm}^3$
رمل منطقة حاسي ميلود	$1.13 \text{g}/\text{Cm}^3$	-
رمل منطقة عين البيضاء	$1.51 \text{g}/\text{Cm}^3$	-

من خلال تجربة الكتلة الحجمية للرمل:

نلاحظ أن الكتلة الحجمية الظاهرية لرمال كثبان منطقة حاسي ميلود تساوي $1.13 \text{ g}/\text{Cm}^3$ أما الكتلة الحجمية لرمال

منطقة عين البيضاء والكتلة الحجمية لرمال كثبان منطقة الطيبات فهي متساوية $1.51 \text{ g}/\text{Cm}^3$

2.2. III. نتائج تجربة التدرج الحبيبي :

الجدول III-5: نتائج تجربة التدرج الحبيبي لرمل كثبان الطيبات.

فتحة الغربال (mm)	وزن المتبقى المجموع (g)	نسبة المتبقى المجموع (%)	نسبة الماء المجموع (%)
5	0.00	0.00	100
2.5	0.13	0.013	99.87
1.25	0.19	0.019	99.81
0.63	0.83	0.083	99.17
0.315	67.09	6.709	93.29
0.160	860.58	86.058	13.94
0.080	970.65	97.065	2.93



الشكل III-1: التدرج الحبيبي لرمل كثبان منطقة الطيبات.

من خلال منحنى التدرج الحبيبي يتم الحصول على نسب حبيبات الحصى والرمل والطمي والطين، فمن الشكل (III-1) وحسب التقاسيم الخاصة بمحاجم الحبيبات الأولية في الجدول (I-1) يتضح أن هذا الرمل يتكون من:

$$\text{رمل ناعم} = 41\% \quad \text{رمل خشن} = 58\% \quad \text{حصى} = 1\%$$

- **معامل النعومة (MF) [26]:** تدل قيمة معامل النعومة للرمل على الخشونة أو النعومة النسبية التي تتمتع بها حبيباته فهي بشكل أو باخر تعطي فكرة عن المقاس الوسطي للأقطار من أصغرها إلى أكبرها لذلك نسعى إلى دراسة التدرج الحبيبي له لحساب قيمته وفق العلاقة التالية:

$$MF = \sum R_c / 100 \quad (1.III)$$

R_c : المتبقي المجموع (%) للغرابيل ذو الفتحات (0.080, 0.080, 0.160, 0.315, 0.63, 1.25, 2.5, 5).

ويعبر معامل النعومة عن الحجم المتوسط لحبيبات الرمل ولا يدل على مدى تدرج الرمل من عدمه.

يتراوح معامل النعومة للرمل بين (1.5%-3.75%) وللبحص (5%-8%).

ويصنف الكود الأوروبي للرمل حسب معامل النعومة إلى:

($1.5 < MF < 2$) ○ رمل ناعم جدا.

($2 < MF < 2.6$) ○ رمل ناعم.

($2.6 < MF < 2.8$) ○ رمل متوسط.

($3.2 < MF$) ○ رمل خشن.

$$MF = \sum 0.013 + 0.019 + 0.083 + 6.709 + 86.058 + 97.065 / 100 = 1.89$$

معامل النعومة يساوي 1.89% وهي محصورة بين 1.5-2 إذن الرمل المستعمل رمل ناعم جدا يستعمل في الخرسانة

[26]. العادية

■ **معامل الانتظام (C_u) :** ويتم حسابه من خلال النسبة بين قطر حبيبات الرمل المناظر لما نسبته 60% ($D_{60\%}$)

إلى قطر حبيبات الرمل المناظر لما نسبته 10% ($D_{10\%}$) من نسبة الماء من عينة الرمل الموضع على منحني التدرج الحبيبي، ويمثل بالعلاقة التالية:

$$C_u = \frac{D_{60\%}}{D_{10\%}}$$

وعندما يكون معامل الانتظام عاليا فإن ذلك يعني أن هناك تفاوتاً بين $D_{10\%}$ و $D_{60\%}$ ، والرمل الذي له معامل

انتظام أقل من 2 بعد رمل منتظم الحبيبات.

$$C_u = \frac{D_{60\%}}{D_{10\%}} = \frac{0.25}{0.10} = 2.5$$

معامل الانتظام يساوي 2.5% أي أنه يوجد تفاوت بين $D_{10\%}$ و $D_{60\%}$.

- معامل التدرج (C_c): ويدخل في حساب هذا المعامل قطر حبيبات الرمل المعاوز لما نسبته 30% ($D_{30\%}$) من

نسبة الماء من عينة الرمل الموضحة على منحني التدرج الحبيبي، ويحدد معامل التدرج بالعلاقة:

$$C_c = \frac{D_{30\%}^2}{D_{10\%} * D_{60\%}}$$

إذا كان C_c قريباً من 1 فإن الرمل ذو تدرج جيد، أما إذا كان أقل أو أعلى من 1 بكثير فإن الرمل ذو تدرج ضعيف.

$$C_c = \frac{D_{30\%}^2}{D_{10\%} * D_{60\%}} = \frac{(0.16)^2}{0.10 * 0.25} = 1.02$$

معامل التدرج قريب من 1 إذن الرمل ذو تدرج جيد.

• مقارنة النتائج:

الجدول III-6: نتائج معاملات التدرج للعينتين.

العينات		المعاملات
رمل منطقة حاسي ميلود	رمل منطقة الطيبات	
2.5	1.89	معامل النعومة
1.5	1.02	معامل الانظام
2.8	2.5	معامل التدرج

من خلال تجربة التدرج الحبيبي:

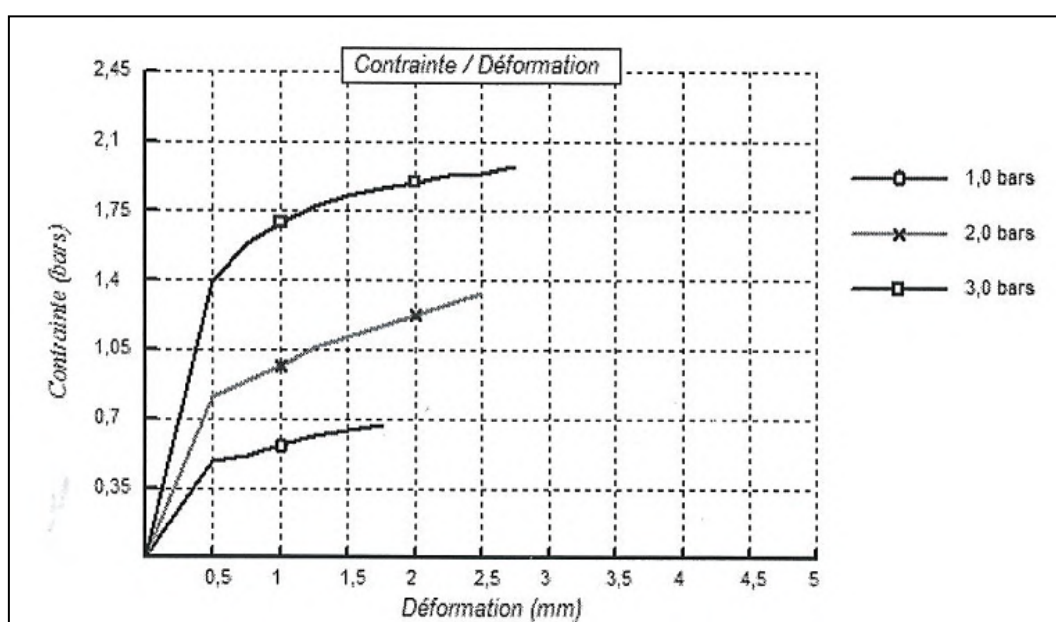
نلاحظ أن معامل النعومة لرمل منطقة الطيبات أقل من معامل النعومة لرمل منطقة حاسي ميلود، ومعامل الانتظام لرمل منطقة الطيبات أقل من معامل رمل حاسي ميلود ومعامل التدرج لرمل منطقة الطيبات أقل أيضاً من معامل التدرج للرمل منطقة حاسي ميلود، وبالتالي فإن التدرج الحبيبي لرمل منطقة الطيبات أحسن من التدرج الحبيبي لرمل منطقة حاسي ميلود.

III.3. نتائج تجربة إجهاد القص:

نرسم العلاقة بين الإجهاد وإزاحة القص، بالإضافة إلى العلاقة بين الإجهاد القص والإجهاد الناظمي باستخدام برنامج

.Soltests

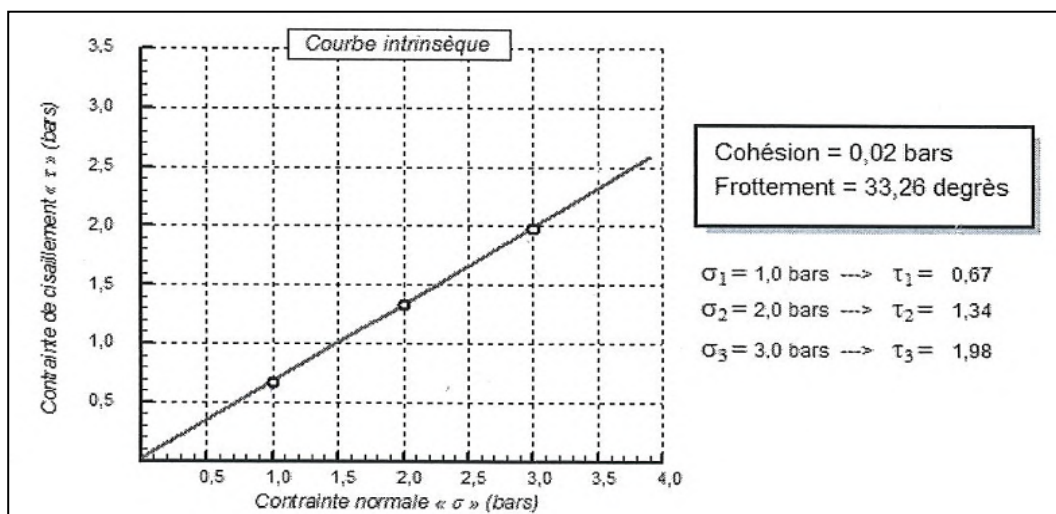
يمثل الشكل(III-2): منحني تغير الإجهاد المطبق على عينة من رمل كثبان منطقة الطيبات.



الشكل III-2: الإجهاد المطبق على عينة من رمل منطقة الطيبات.

نلاحظ من خلال المنحني أنه:

كلما زادت إزاحة القص يزداد الإجهاد الناتج من الضغط المطبق على العينة (3bar, 2bar, 1bar)، حيث عند الضغط 1bar كان الإجهاد في حدود 0.55bar، أما عند الضغط 2bar فكان الإجهاد في حدود 1.30bar، وعنده الضغط 3bar كان في حدود 2bar.



الشكل III-3: منحنى تغير إجهاد القص بدلالة الإجهاد الناظمي.

نلاحظ من خلال المنحنى أنه:

- كلما زاد الإجهاد الناظمي (δ) المطبق على العينة يزداد إجهاد القص (τ)
- قوة التماسك لرمل المنطقة تساوي $C=0.02 \text{ bar}$ ، وهي قيمة ضعيفة أي أن رمل المنطقة قليل التماسك.
- زاوية الاحتكاك $\phi=33.26^0$.

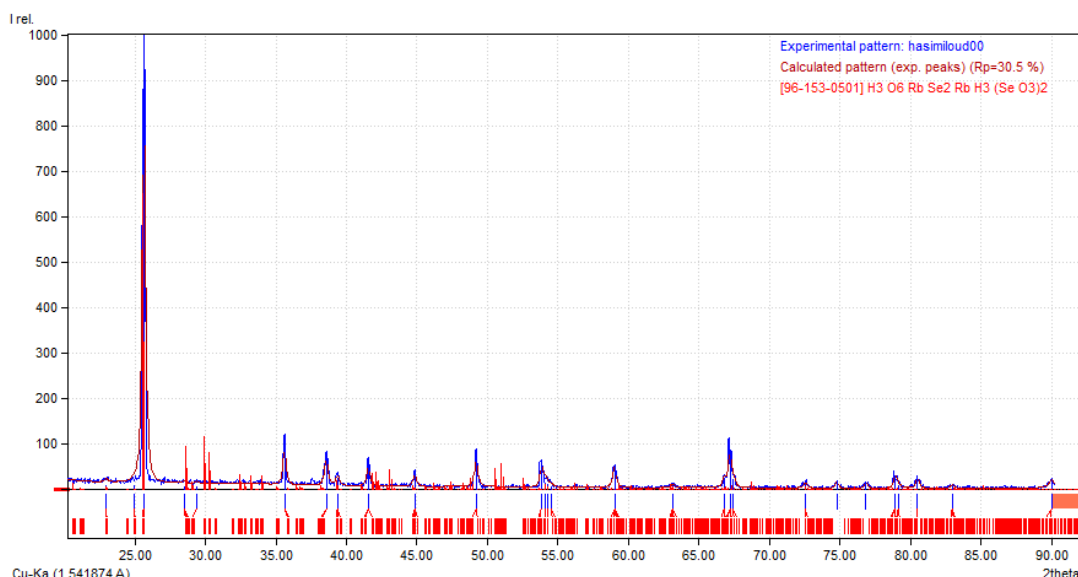
وبالمقارنة النتائج المتحصل عليها مع نتائج رمل منطقة حاسي ميلود تبين أن قوة التماسك لرمل هذا الأخير أكبر منها لرمل منطقة الطيبات حيث كانت في حدود 0.11 bar ، على عكس زاوية الاحتكاك فقد كانت أقل حيث كانت في حدود 33.07^0 .

4. III. نتائج تقنية انعراج الأشعة السينية:

1.4. III. تسجيل الطيف باستعمال انعراج الأشعة السينية:

سمح لنا جهاز انعراج الأشعة السينية بتسجيل نمط الانعراج للعينة المدروسة من رمل كثبان منطقة الطيبات، ويعتمد نمط التسجيل على قياس شدات الخطوط المنعرجة عن طريق انتقال خطوة للعينة وخطوة للكاشف، حيث تم معالجة هذا النمط بواسطة برنامج الماتش (Match!2) الذي أعطى معلومات عن التراكيب البلورية الموجودة في العينة.

يمثل الشكل (III-4): نمط الانعراج المتحصل عليه من خلال جهاز انعراج الأشعة السينية.



الشكل III-4: طيف انعراج الأشعة السينية لرمل كثبان منطقة الطيبات

2.4. III. تحليل رمل كثبان منطقة الطيبات باستعمال انعراج الأشعة السينية:

الجدول III-7: الملحقات الخاصة بانعراج الأشعة السينية على رمل منطقة الطيبات

	$\theta_2(^{\circ})$	$\sin \theta$	$I (u. a)$	$d_{hkl} (A^0)$	H	K	L	المركبات
--	----------------------	---------------	------------	-----------------	---	---	---	----------

الفصل الثالث:

المناقشة وتحليل النتائج

1	25.5423	0.2210	1177.79	3.4846	1	0	1	الكوارتز
2	35.3540	0.3036	160.41	2.5368	0	6	0	الجبس
3	38.3736	0.3286	109.70	2.3438	1	1	0	الكوارتز
4	39.0367	0.3341	100.23	2.3055	1	0	2	الكوارتز
5	41.2180	0.3519	129.14	2.1884	4	0	1	الكايسن
6	44.4941	0.3786	96.51	2.0346	2	1	3	الكايسن
7	48.8656	0.4136	637.39	1.8623	1	1	3	الجبس
8	54.1951	0.4555	70.54	1.6911	2	0	2	الكوارتز
9	58.7400	0.4904	244.20	1.5706	10	1	1	الكايسن
10	62.8156	0.5211	48.94	1.4781	1	1	3	الكوارتز
11	66.4467	0.5479	93.90	1.4059	2	1	2	الكوارتز
12	66.9492	0.5515	230.64	1.3966	1	2	2	الكوارتز
13	72.3436	0.5902	36.46	1.3051	1	1	9	أكسيد الحديد الثلاثي
14	74.5045	0.6053	67.49	1.2725	3	0	6	الكايسن
15	78.7102	0.6341	77.32	1.2147	2	1	3	الكوارتز
16	80.2630	0.6445	56.04	1.1951	1	1	4	الكوارتز
17	82.7127	0.6607	39.64	1.1658	2	1	10	الكايسن

مطابقة طيف انبعاث الأشعة السينية ببطاقات (ASTM) تحصل على النتائج التالية، التي يثبت أن طيف انبعاث الأشعة

السينية يعطي أربعة أطوار وهي:

• الكوارتز (SiO_2) [27]: دل على ذلك قمم الانعراج عند الزوايا 2θ : 38.3736, 25.5423, 20: 39.0367, 36.1951, 34.8156, 32.7102, 29.9492, 27.4467, 25.8156, 23.1951, 20.2630.

• الكالسيت (CaCO_3): دل على ذلك قمم الانعراج عند الزوايا 2θ : 41.2180, 39.0367, 37.712, 35.5045, 34.7400.

• الجبس (CaSO_4): دل على ذلك قمم الانعراج عند الزوايا 2θ : 48.8656, 35.3540.

• أكسيد الحديد الثلاثي (Fe_2O_3): دل على ذلك قمم الانعراج عند الزوايا 2θ : 72.3436.

نلاحظ من خلال التحليل أن رمل كثبان منطقة الطيبات يتكون أساساً من الكوارتز SiO_2 ونسبة معتبرة من الكالسيت CaCO_3 ، والجبس CaSO_4 ، أما أكسيد الحديد الثلاثي فكانت نسبته ضئيلة.

مع العلم أنه توجد أطوار ثانوية لا تكون مرئية في DRX، لأن حساسية الجهاز لا تسمح بظهور المركبات ضعيفة التبلور.

3.4. III. قياس أبعاد بلورات الرمل باستخدام معادلة شرر [28]:

قام العالم بول شرر سنة 1918 بوضع معادلة لحساب أبعاد الحبيبات النانوية عند معرفة زاوية برااغ وعرض أشد خط انعراج له، حيث يتناسب فيها سمك البلورة عكسها مع عرض الخط، فكلما زاد عرض الخط زاد كلما قل سمك البلورة والعكس، ويعطى بالعلاقة التالية:

$$L = \frac{K * \lambda}{\beta * \cos \theta} \quad (2-III)$$

حيث:

L: قطر الحبيبة النانوية.

الفصل الثالث:

المناقشة وتحليل النتائج

K: ثابت شرر(يعرف بعامل الشكل وهو مقدار ثابت يعتمد على شكل الحبيبات النانوية، ويتغير مقداره ما بين 0.62 إلى 2.08، فهو للنظام التكعيبي 0.94، وللنظام غير التكعيبي 0.89).

β : عرض الخط عند متوسط الارتفاع.

θ : زاوية سقوط الأشعة السينية.

λ : الطول الموجي للأشعة السينية.

باستعمال معادلة شرر نقوم بحساب الأبعاد المتوسطة لبلورات رمل كثبان منطقة الطبيات كالتالي:

المعطيات:

$\lambda = 0.154 \text{ nm}$ - الطول الموجي:

$K = 0.89$ - ثابت شرر:

$\beta = 0.1700^\circ$ - عرض القمة عند منتصف الارتفاع للخط الأكبر شدة:

$$L = \frac{K * \lambda}{\beta * \cos \theta} = \frac{0.89 * 0.154}{0.1700 * \cos(12.77)}$$

$$= 0.83 \text{ nm}$$

من خلال هذه الحسابات التي قمنا بها للعينة نجد أن:

قطر حبيبة بلورة الكوارتز الموجودة في رمل كثبان منطقة الطبيات في حدود 0.83nm.

الخلاصة العامة

الخلاصة العامة

قمنا في هذا العمل بدراسة تحليلية على رمل كثبان منطقة الطيبات لتحديد خصائصه الفيزيائية والكيميائية باستعمال تقنيات التحليل الفيزيائية المتمثلة في: التدرج الحبيبي وتجربة الكتلة الحجمية و إجهاد القص، والكيميائية: وهي المكافئ الرملي و التحليل الكيميائي للكشف عن بعض المركبات في العينة المدروسة، و تقنية انعراج الأشعة السينية لتحديد الأطوار البلورية الموجودة في الرمل وكانت النتائج كالتالي:

❖ بيّنت تجربة التدرج الحبيبي أن رمل كثبان منطقة الطيبات له تدرج حبيبي جيد على العموم

❖ مكنت تجربة الكتلة الحجمية للرمل من قياس :

- الكتلة الحجمية الظاهرية: 1.51g/Cm^3
- الكتلة الحجمية المطلقة: 2.64g/Cm^3

❖ بتحليل نمط انعراج الأشعة السينية لعينة من رمل كثبان منطقة الطيبات تبين أنها تحوي تراكيب بلورية تعود للكوارتز والكالسيت والجبس ونسبة ضئيلة من أكسيد الحديد الثلاثي.

❖ استخدمنا معادلة شر لقياس بعد المتوسط لبلورة الكوارتز فتحصلنا على النتيجة التالية:

$$L = 0.83\text{nm}$$

❖ بيّنت تجربة المكافئ الرملي أن رمل كثبان منطقة الطيبات قليل الشوائب حيث كانت نسبة:

$$ES=87.19\%$$

❖ من خلال التحليل الكيميائي تحصلنا على بعض النسب لبعض المركبات مثل كربونات الكالسيوم و كبريتات الكالسيوم المائية(الجبس) و المواد غير مذابة و السلفات وبعض المواد ضعيفة النسب فكانت النتائج على الترتيب:

- $\text{CaCO}_3 = 10\%$
- $\text{CaSO}_4 \cdot 2\text{H}_2\text{O} = 7,31\%$
- $\text{INS} = 88,69\%$

$$SO_4^- = 2\% \bullet$$

من خلال تجربة إجهاد القص قمنا بتحديد معامل التماسك C وزاوية الاحتكاك ϕ حيث تحصلنا على النتائج

$$\phi = 33,26^\circ, C = 0,02 \text{ bar} \quad \text{كالآتي:}$$

وبحوصلة هذه النتائج نكون قد توصلنا إلى الهدف المرجو من هذا البحث وهو دراسة الخصائص الفيزيائية والكيميائية لعينات رمل منطقة الطيبات وتحديد المكونات والعناصر الأساسية المكونة له.

بعد إتمام هذه الدراسة يمكن تسجيل عدة ملاحظات هامة لتكون منطلقات بحث ودراسة لأعمال أخرى في المستقبل:

❖ استخلاص مادة الكوارتز.

❖ استغلال الرمل في صناعة الزجاج.

❖ استخلاص السيليسيوم النقي المستخدم في الصناعات المعاصرة.

هذه الدراسة تعتبر كبداية لدراسة رمل منطقة الطيبات و الذي يفتح آفاق مستقبلية لدراسات معمقة و خاصة عند توفر أجهزة التحليل المناسبة.

الخلاصة العامة

المراجع

المراجع

- [1] د. محمد القاضي، "الرمل الكوارتزي؟ (الجزء الأول)، جامعة قطر(1999).
- [2] faculty.ksu.edu.sa.
- [3] A. Bigelow, C. Bowman and D. K. Cassel, Physical Properties of Sand Amended with Inorganic Materials", USGA Turfgrass and Environmental Research Online, Vol 03, Num 6, (2004).
- [4] http://www.moqatel.com/openshare/Behoth/Gography11/geography/sec060. doc_c vt.htm (version 01/2016).
- [5] ادوارد جي تاريوك, فريدريلك كي لوتجنس, دينيس تازا, "مقدمة في الجيولوجيا الفيزيائية", المجلد 8.
- [6] <http://www.sgs.org.sa> (version 01/2016).
- [7] <https://www.vb.elmstabacom>.
- [8] <http://www.chemistrysources.com/> (version 01/2016).
- [9] كريمة خشانة، "مقارنة بين عينة رمل تنمو فيها وردة الرمال وعينة من الرمل لا تنمو فيها وردة الرمال، مذكرة تخرج لنيل شهادة ماستر، جامعة ورقلة ، جوان 2014.
- [10] A. Amirat,"formulation et comportement d'un béton de sable de dune pour Structures ", Mémoire d'ingénieur poly-tech d'Alger, (2004).
- [11] زنخري فهيمة، "تحضير دراسة مرشحات وحوامليها انطلاقا من مواد أولية محلية"، مذكرة تخرج لنيل شهادة ماجستير في الفيزياء، جامعة قسمنطينة، جوان 2008.
- [12] <http://www.uobabylon.edu.iq>.
- [13] Pratiyogita Darpan ,Competition Science Vision , March 2000 , India ,year 3,Issue.

- [14] محمد العيد مشري، "دراسة أثر المعالجة الحرارية على تركيب رمل كثبان ورقلة وعلى ناقليته الكهربائية باستخدام الطرق الطيفية"، مذكرة تخرج لنيل شهادة دكتورا، جامعة ورقلة، 2016.
- [15] A. M. SHARAKY, T. M. LABIB Sand Dune Movement and Its Effect on Cultivated Lands in Africa: Case Study: Dakhla Oasis, Western Desert, Egypt, Land Degradation in Egypt and Africa ,Cairo University, (23-24 March 2002), page 1-15.
- [16] Y. Benna, S. Bedjou, B. Gueltahe et A. Braray, (2006), Valorisation des sables de dune: Applications aux sables des régions de Ouargla et de Boussaada, National Center of Studies and Integrated Researchs (CNERIB).
- [17] http://news.quickk.co / خريطة_الجزائر_الطبيعية/ (version 01/2016).
- [18] مرحوفي عبد المالك، "المساهمة في دراسة خصائص وتشوهات خرسانة ألياف التخييل في المناطق الجافة والجارة"، مذكرة تخرج لنيل شهادة الماجستير، قسم الري والهندسة المدنية، جامعة ورقلة 2004.
- [19] نعيمة عبد القادر أحمد، محمد أيمن سليمان، "علم البلورات والأشعة السينية"، دار الفكر العربي، القاهرة، 2005.
- [20] أ.د. محمود نصر الدين، "الأشعة السينية وبعض تطبيقاتها" ، الهيئة العربية للطاقة الذرية، تونس 2008.
- [21] عقيلة بن حامد، "تفسير منحنيات مطيافية أوجي مسجلة على طبقات رقيقة من التيتان مرسبة على مساند من الفولاذ"، مذكرة تخرج لنيل شهادة ماستر، جامعة ورقلة، ماي 2016.
- [22] الأشعة السينية، الموسوعة العربية، اختبار المواد، الصفحة 382.
- [23] سمحة بضياف، "دراسة التركيب الجزيئي لرمل كثبان منطقة ورقلة باستخدام مطيافية الامتصاص ما تحت الأحمر و حيود الأشعة السينية"، مذكرة تخرج لنيل شهادة ماستر، جامعة ورقلة، جوان 2012.
- [24] محمد أحمد الجلاوي، "سلسلة محاضرات الجلاوي في الفيزياء" ، فيزياء الحالة الصلبة (الفصل الثالث) ،قسم الفيزياء ، كلية العلوم ،جامعة الطائف.

[25] مصطفى عتqi، بسام معصري، الموسوعة العربية، المجلد الخامس: الكيمياء والفيزياء، الصفحة 330.

[26] ديمة أمين إبراهيم، البحث عن تقنية لتنظيف الرمل في سوريا وتحسين أدائها في البيتون، دراسة أعدت لنيل درجة الماجستير في الهندسة المدنية، جامعة تشرين.

[27] Wei, Die Bindung im Quartz, Zeitschrift fuer Kristallographie

Kristallgeometrie, Kristallphysik, Kristallchemie (-144,1977) 92,1935, Page 355-362.

[28] قبطة حليمة، "حساب الأقطار المتوسطة للبلورات الكوارتز في الأصناف اللونية لرمل كثبان ورقلة باستخدام قانون شرر"، مذكرة تخرج لنيل شهادة الماستر، جامعة ورقلة، 2016.

الملخص:

تمثل الكثبان الرملية 40 بالمائة من مجموع مساحة الجزائر إلا أن استغلاله يكاد ينحصر في البناء والتطبيقات التقليدية، ونظرا لاحتواء الرمل على عناصر كيميائية مهمة كالكوراتر المستعمل في التطبيقات والصناعات الحديثة يفتح مجال واسع لدراسةه وتحليله علميا.

إن الهدف الأساسي من هذا العمل هو دراسة الخصائص الفيزيائية والكميائية لرمل كثبان منطقة الطيبات باستعمال بعض طرق التحليل الفيزيائية والكميائية وحيد الأشعة السينية (DRX)، حيث يبيّن النتائج أن رمل منطقة الطيبات يتميز بتدرج حبيبي جيد، ودرجة نقاوة عالية تصل إلى 86.19%， وأوضحت نتائج التحليل الكيميائي أن رمل المنطقة المدروسة يحتوي على:

10% من كربونات الكالسيوم، 7.31% من الجبس، 1% من أكسيد الكبريت الثلاثي، و 88.69% من المواد غير المذابة المتمثلة في الكوراتر بنسبة عالية وبعض المركبات الأخرى.

أكّدت تقنية انعراج الأشعة السينية النتائج المتحصل عليها انطلاقاً من التحليل الكيميائي أن الرمل مكون أساساً من الكوراتر ونسبة معتبرة من كربونات الكالسيوم والجبس.

الكلمات المفتاحية: رمل الكثبان، انعراج الأشعة السينية، التحليل الكيميائي، التدرج الحبيبي، المكافئ الرملي.

Abstract:

Sand dunes account for 40% of the area of Algeria however, It s exploitation is limited to traditional applications, and construction, and because the sand contains important chemical elements such as quartz used in modern applications and industries opens a wide area for study and analysis scientifically.

The main objective of this work is to study the physical and chemical properties of sand dunes of the area of Taibat, using some physical, chemical and x-ray(DRX) methods where the results showed that sand dunes of Taibat characterized by a good granular gradient and a high purity of up to 86.19% the results of the chemical analysis showed that the sand of the sand of the studied area contains 10% of calcium carbonate, 7.31% gypsum, 1% sulfur dioxide, 88.69% non-dissolved matters such as quartz and some other components.

X-ray diffraction technique confirmed there salts obtained from chemical analysis that sand is mainly composed of quartz and a significant proportion of calcium carbonate and gypsum.

Key words: sand dunes, x-ray diffraction, chemical analysis, granular gradient, the sand equivalent.